

水素燃料 電氣點火機關의 性能 및 排出物 豫測

The Prediction of Performance and Emission of Hydrogen Fueled Spark Ignition Engine

金 應 瑞* · 盧 承 卓*

Eung Seo Kim · Sung Tack Ro

ABSTRACT

The predictions of the mean effective pressure and the exhaust emission of NOx in hydrogen fueled spark ignition engine were studied. And the predictions were compared to the experimental results of D.B. Kittelson and H.S. Homan.

The modeling was based on Otto cycle and the prediction of NOx was performed by extended Zeldovich mechanism.

The differences between predictions and experimental results were 20 - 30% in the mean effective pressure and 10 - 20% in the concentration of NOx where the equivalence ratio ϕ was 0.6 - 0.8.

記 號

A	: 燃料의 몰 数
ΔE_0	: 活性化 에너지
K_p	: 平衡常數
k	: 反應速度
n	: 몰 数 n_e : 總 몰 数
P	: 壓力 P_{me} : 平均有効壓力
R	: 가스 常數
S	: 엔트로피
T	: 温度
U	: 内部 에너지
V	: 体積
V_c	: 間隙 体積
V_s	: 行程 体積
x	: 몰 分率
ϕ	: 當量比
i	: 化學種
下添字 (j : 計算 step

1. 緒 論

自動車用 内燃機關은 두 개의 重大 課題라 할 수 있는 排出物 對策과 化石燃料의 供給의 不安定, 고갈에 따르는 代替燃料 개발 문제에 面하고 있다. 이를 對策에는 向後 10年 정도의 短期的 技法의 개발과 長期的 또는 本格的인 새로운 機關의 장조 등이 포함되고 있으며, 代替燃料로는 메탄을, 에탄을 연료와 水素燃料가 지목되고 있다.

水素燃料는 燃料 속에 炭素原子를 포함하지 않은 單一成分의 燃料인 것, 着火 에너지가 적은 것⁽¹⁾, 燃燒限界의 混合比範圍가 넓은 것, 화염전파속도가 빠른 것 등의 특징이 있어 機關의 性能이나 排出物 特性에 큰 영향을 미치고 있으며, 이를 바탕으로 하여 水素燃料의 사용에 관한 研究를 상당 水準에 이르기까지 진행시키고 있다.

R. F. Stebar, F. B. Parks⁽²⁾ 등은 37.3 in³의 ASTM CFR 단기통 기관에 의한 實驗結果로서 Le-

an limit 가 가솔린(이소옥탄)의 경우 當量比 0.89 인데 對해 水素의 경우는 當量比 0.18(空氣過剩率 5.6)까지 넓혀지고 있고, NO_x의 排出濃度는 最大値에서 가솔린(이소옥탄) 2 배가 되나 當量比 0.55(공기과잉율 1.8) 보다 희박한 域에서는 거의 排出되지 않는다고 보고하고 있다. 出力에 있어서는 가솔린과 水素-가솔린 配合燃料의 實驗에서 空氣過剩率 1.0(當量比 1.0-가솔린燃料) 일 때에 대해 空氣過剩率 1.8(當量比 0.55-水素와 가솔린의 混合燃料)로 희박하게 하였을 때의 出力 低下는 約 30%가 된다고 한다.

또 古浜⁽³⁾ 등은 482cc 單氣筒 機關으로 水素를 燃料로 한 實驗에서 NO_x를 低減시키려면 공기과잉율이 적어도 1.7은 되어야 하고, 이 경우 出力은 약 27% 低下된다고 보고하고 있으며, UCLA 水素機關實驗車⁽⁴⁾에서 약 55% 低下되었다고 한다.

또 G. A. Karim 등은 以上이 實驗的 方法에 의한 水素燃料機關의 性能解析인데 대해 電算에 의한豫測를 시도하여 실린더 압력, 圖示燃效率에서 바람직한 結果를 얻고 있다.

本研究에서는 Otto 사이클을 기초로 하여 壓縮 및 燃燒過程을 解析하고 電算시뮬레이션하여 水素-空氣機關의 出力 및 NO_x 排出濃度를豫測하고 D. B. Kittelson⁽⁵⁾ 등의 實驗值 및 H. S. Homan⁽⁶⁾ 등의 實驗值와 比較하였다.

2. 理論解析

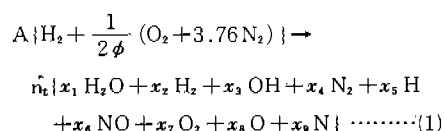
機關의 出力과 실린더내에서 生成되는 燃燒가스 成分의 濃度豫測를 위해 諸狀態를 다음과 같이 假定한다.

- (1) 燃燒가스는 理想氣体의 性質을 만족한다.
- (2) 燃燒室內의 壓力은 均一하다.
- (3) 燃燒室內의 溫度는 均一하다.
- (4) 空氣의 成分은 体積比로 21%의 산소와 79%의 질소로 構成되어 있다.
- (5) 水素-空氣의 혼합기는理想的 Otto cycle 을 수행한다고 가정한다.

2-1 燃燒方程式의 設定

2-1-1 獨立成分의 數 및 燃燒混合氣中에 存在하는 化學成分의 선택

水素-空氣 혼합기의 燃燒過程을 H, O, N의 3種의 獨立元素가 存在하는 平衡系로 생각한다. 따라서 生成되는 燃燒化學成分으로는 보통 온도의 燃燒過程에서는 H₂O, N₂, O₂, H₂만을 고려할 수 있으나, 高溫, 高壓의 燃燒室內의 燃燒過程에서는 一連의 解離過程이 附加된다. 이에 따라 H₂O, H₂, O₂, OH, N₂, H, O, N, NO의 9 가지 化學成分을 獨立成分으로 선정하였다. 따라서 燃燒方程式은 다음의 式으로 表示된다.



2-1-2 質量保存方程式

式(1)의 燃燒方程式에서 H, O, N에 대해 각각 質量保存法則를 적용하면

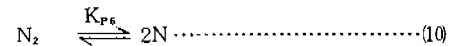
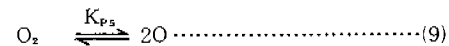
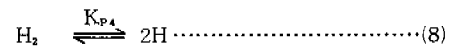
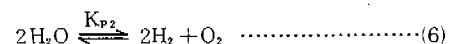
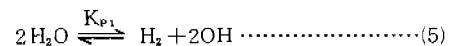
$$n_t (2x_1 + 2x_2 + x_3 + x_5) = 2A \dots\dots\dots(2)$$

$$n_t (x_1 + x_3 + x_6 + 2x_7 + x_8) = \frac{A}{\phi} \dots\dots\dots(3)$$

$$n_t (2x_4 + x_6 + x_9) = 3.76 \frac{A}{\phi} \dots\dots\dots(4)$$

2-1-3 化學平衡方程式

獨立元素 H, O, N에 대해 9 가지의 化學成分을 선택하였으므로 다음의 6 가지 化學平衡式을考慮한다.



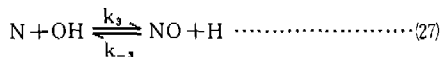
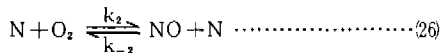
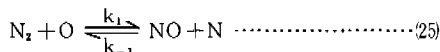
式(5)~(10)에서 平衡常數 K_P는 系의 壓力を P라하면 다음의 式으로 나타낼 수 있다.

$$K_{P1} = \frac{x_2 x_3^2}{x_1^2} \cdot P \dots\dots\dots(11)$$

$$K_{P2} = \frac{x_2^2 x_7}{x_1^2} \cdot P \dots\dots\dots(12)$$

여야 한다. 이에 대해서는 Lavoie, Newhall & Starkman, Annand, Benson, Zeldovich 등에 의하여研究가 수행된 바 있다.^{(4), (5)}

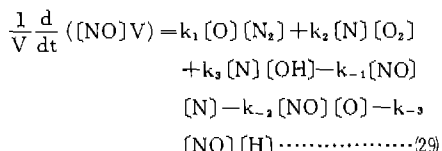
본 연구에서는 Zeldovich의 모멘을 변형하여 다음의 3 가지反應式을考慮한 extended Zeldovich mechanism을適用하여 NO의濃度를豫測하였다.



여기서 반응계수 k 는 다음의 Arrhenius 式의 형태로 표시되어 常數 a , b 및 활성화에너지 ΔE° 는 Table 1에 나타낸 것과 같다.

$$k = aT^b \exp(-\Delta E_0 / (R T)) \quad \dots \dots \dots (28)$$

式(25)~(27)로부터 NO濃度의 시간에 대한 변화율은 다음과 같이 表示된다.



여기서 []는 단위 체적당의 몰數를 나타낸다.
 式(29)를 풀기 위해서는 먼저 $[O]$, $[N]$, $[O_2]$,
 $[OH]$, $[H]$, $[N_2]$ 에 대해 計算하여야 하므로 이
 를 다음과 같이 가정한다. $[N]$ 은 $[NO]$ 에 比하
 여 极히 작은 量이며 10^{-7} 몰농도 정도의 값이므
 로 정상상태로 가정한다.⁽⁵⁾ 또 O , O_2 , H , OH 는 平
 衡状態에 있다고 가정할 수 있다.⁽⁶⁾

따라서 이러한 가정에 의해 式(29)를 간단히 하면,

$$\frac{d\{\text{NO}\}}{dt} = 2 \frac{\bar{R} T}{\rho} \left[\frac{1 - \frac{\{\text{NO}\}}{\{\text{NO}\}_e}}{1 + K \frac{\{\text{NO}\}}{\{\text{NO}\}_e}} \right]^2 \cdot R_i \quad \dots \dots \dots (30)$$

이다. 여기서

$$R_1 = k_1 [O]_e [N_2]_e - k_{-1} [N]_e [NO]_e \quad \dots \dots \dots (31)$$

$$R_2 = k_2 [N]_e [O_2]_e = k_{-2} [NO]_e [O]_e \quad \dots \dots \dots (32)$$

$$R_3 = k_3 [N]_e [OH]_e = k_{-3} [NO]_e [H]_e \dots \dots \dots (33)$$

를 표시하여, $\{NO\}$ 는 NO의 물분율, 첨자 e는 평형 상태를 각각 나타낸다.

2-2에서 求한 各 成分의 平衡濃度와 Table 1의 反應係數를 式(30)에 代入하여 Runge-Kutta의 方法으로 非平衡濃度를 계산한다.

Table 1 Coefficient a, b and activation energy ΔE_0 for reaction rate k

constants k	a (cm ³ /mole·s)	b	ΔE_0 (kcal/gmole·k)
k ₁	4.93×10^{13}	0.0472	75.59
k ₋₁	1.60×10^{13}	0	0
k ₂	1.48×10^8	1.5	5.68
k ₋₂	1.25×10^7	1.612	37.69
k ₃	4.22×10^{13}	0	0
k ₋₃	6.76×10^{14}	0.212	49.34

3. 結果と検討

사이클 計算에 使用한 機構의 諸元 및 運轉조건은 Table 2에 나타낸 것과 같다.

Table 2 Engine specifications & operating conditions

Item	Specification
Type	L-head, water cooled
Displacement, cm ³	816.1
Compression ratio	7:1
Coolant temperature, K	327
Air inlet temperature, K	293
Engine speed, rpm	1500

Fig. 2에서 Fig. 4까지는 각각 當量比 $\phi = 1.0$, 0.8, 0.6에서의 실린더 体積에 따른 平衡濃度의 물分率을 나타낸 것이다. N_2 의 물分率은 실린더 体積에 따라 거의 變化하지 않고 一定한 값으로 유지된다. H_2O 의 물分率은 실린더 体積에 따라 險 창행 정 初期에 약간의 增加를 보이다가 점차 一定한 값을 가지게 되며 NO , OH , H 등은 실린더 体積에 따라 급속히 減少하는 경향을 나타낸다.

Fig. 5에서 Fig. 7은 平衡計算에 의해 얻어진 NO의 濃度와 extended Zeldovich기구를 使用하

여기서 NO의 濃度를 실린더 体積에 따라 나타낸 것이다. NO의 平衡濃度는 실린더 体積의 增加에 따라 계속 減少하는 경향을 나타내고 있으

나 NO의 非平衡濃度는 어느 정도 減少한 후 점점 減少速度가 작아져서 凍結되는 경향을 나타내고 있다.

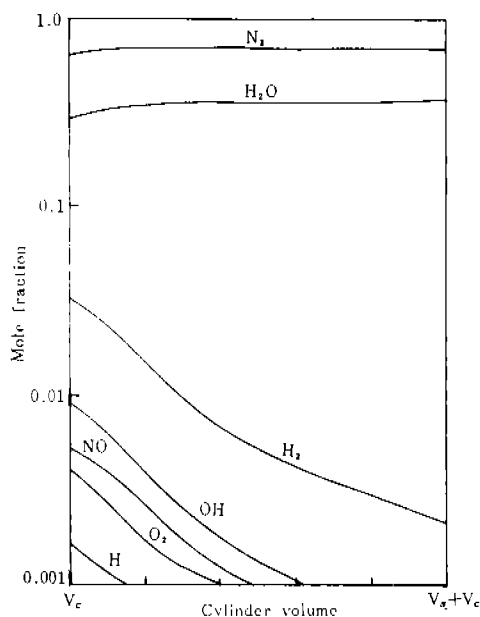


Fig. 2 Equilibrium composition with cylinder volume at $\phi = 1.0$

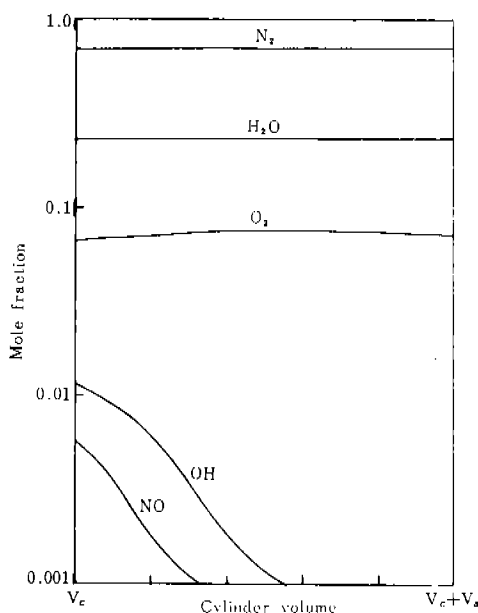


Fig. 4 Equilibrium compositions with cylinder volume at $\phi = 0.6$

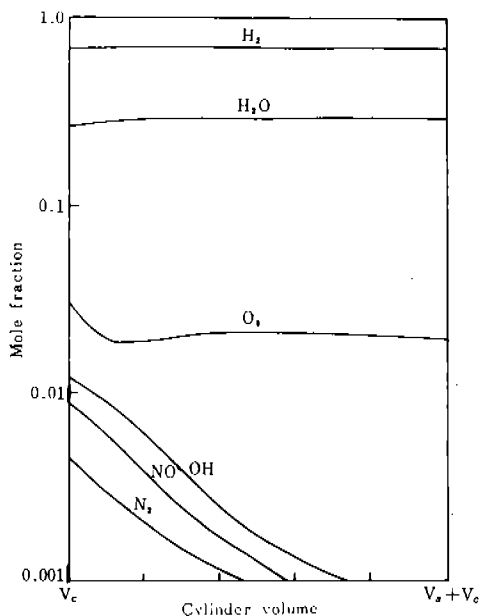


Fig. 3 Equilibrium compositions with cylinder volume at $\phi = 0.8$

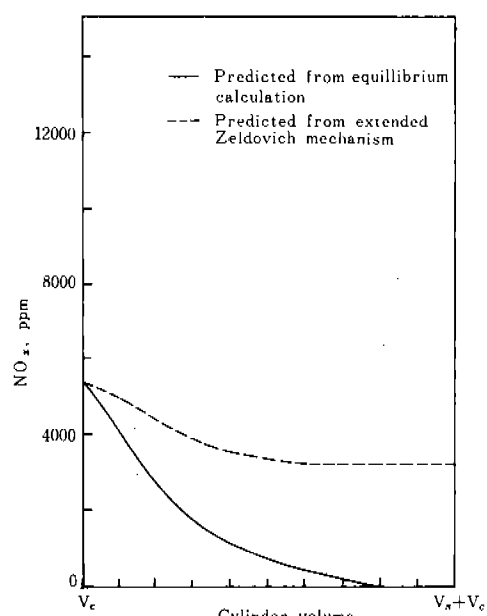


Fig. 5 NO_x concentration with cylinder volume at $\phi = 1.0$

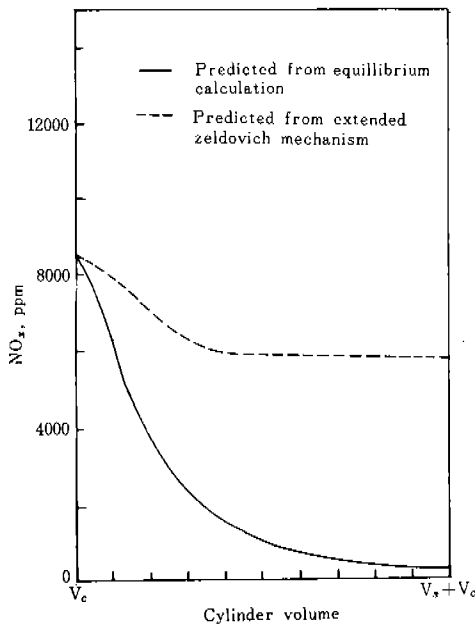


Fig. 6 NO_x concentration with cylinder volume at $\phi = 0.8$

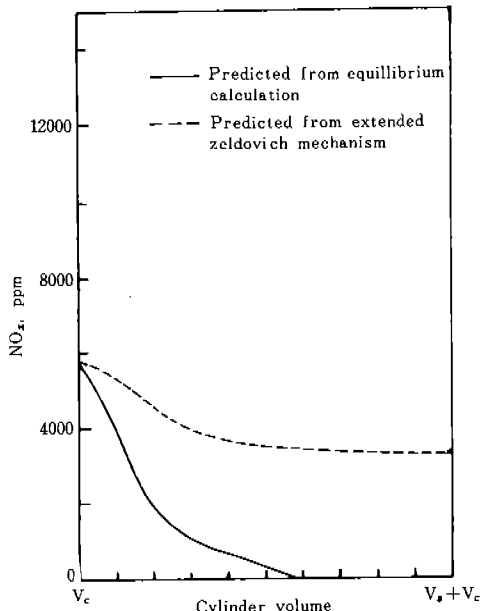


Fig. 7 NO_x concentration with cylinder volume at $\phi = 0.6$

Fig. 8 은 理想的 Otto 사이클에 의해豫測된 平均有効壓力과, Table 2에 表示된 조건하에서 여러 가지 点火時期에 대한 D. B. Kittelson의 實驗

結果⁽⁷⁾를 比較한 것이다. 平均 有効壓力은 當量比에 따라 거의 직선적으로 增加하나 그 增加率은 $\phi = 1.0$ 부근에서 약간 둔화된다.豫測된 平均有効壓力은 當量比에 따라서 實驗結果보다 25%~29% 정도 높게 나타났으나 그 경향은 유사하다. 또, Fig. 10은 Table 3에 表示된 조건하에서의 H. S. Homan 等의 實驗結果⁽⁸⁾를豫測值와 比較한 것이다. 이 경우에도豫測된 平均有効壓力은 當量比에 따라 거의 直線的으로 增加하여 實驗值에 비해豫混合氣燃燒의 경우 36%~38%, 실린더내 분사의 경우 22~28% 정도 높게 나타났다. 이는 사이클 계산에서 壓縮 및 膨脹過程을 斷熱로 假定하여 손실 열량을 考慮하지 않았기 때문이라고 생각된다.

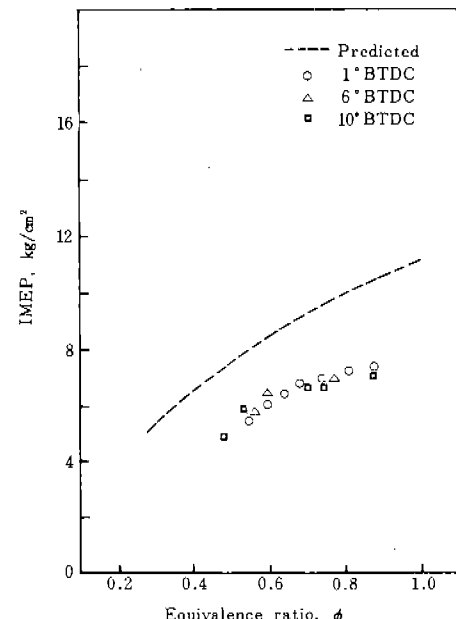


Fig. 8 Measured & predicted indicated mean effective pressure with equivalence ratio

Table 3 Engine specifications & operating conditions

Item	Specification
Type	CFR engine
Displacement, cm ³	612
Compression ratio	8:1
Air inlet temperature, K	293
Engine speed, rpm	1200

Fig. 9는 Table 2의 조건하에서 extended Zeldovich mechanism에 의해豫測한 NO排出濃度와 D. B. Kittelson 等의 實驗結果⁽⁷⁾를 當量比에 따라 나타낸 것이다. NO의 濃度는 當量比 $\phi = 0.8$ 부근에서 實驗值 및豫測值 모두 最大로 나타나고 있다. 예측된 NO의 濃度는 $\phi = 0.6$ 에서 $\phi = 0.8$ 사이에서는 實驗結果와 13%~19%의 차이를 나타내고 있으나 $\phi = 0.6$ 以下에서는 實驗值의 경우 當量比의 減少에 따라 NO의 濃度가 급격히 減少하는데 反하여豫測된 NO의 濃度는 實驗值보다 훨씬 높은 값을 나타내고 있다. 또 Fig. 11은 Table 3의 조건 하에서 extended Zeldovich mechanism에 의해豫測한 NO의 排出濃度와 H. S. Homan 等의 實驗結果⁽⁸⁾를 當量比에 따라 나타낸 것이다. 이 경우에도 當量比 $\phi = 0.8$ 부근에서豫測值 및 實驗值 모두 最大로 나타나고 있다.豫測值豫混合氣燃燒에 대한 實驗值보다 실린더내 분사에 대한 實驗值에 가깝게 나타나고 있다. 그러나 當量比 $\phi = 0.5$ 以下의 구간에서는豫測된 NO의 濃度가 實驗值보다 훨씬 높은 값으로 나타나고 있으며 $\phi = 0.7$ 以上에서는 오히려 實驗值가 높게 나타났다. 이는 실린더내의 温度가 均一하다고 假定하였기 때문

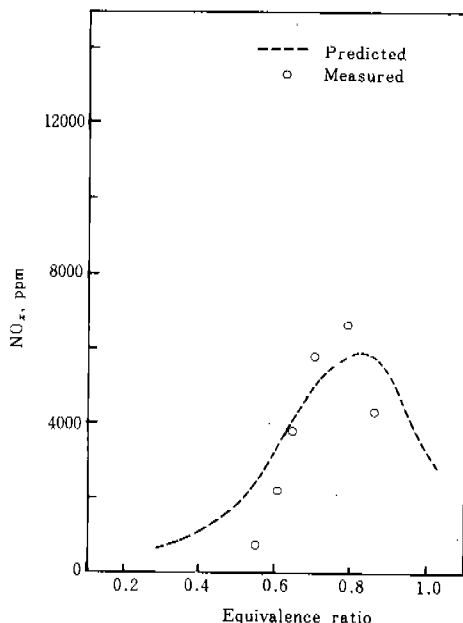


Fig. 9 Measured and predicted NO_x concentration with equivalence ratio at 1500 rpm

이라 생각되어 이를 보다 더 정확히豫測하기 위해 局部的 温度分布를 考慮하여 계산하여야 되겠다고 생각된다.

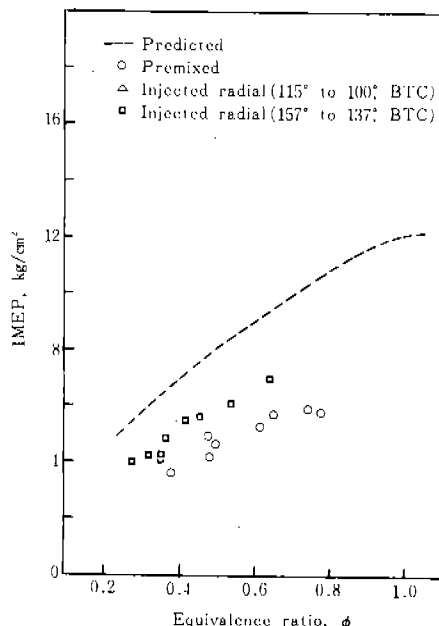


Fig. 10 Measured & predicted indicated mean effective pressure with equivalence ratio

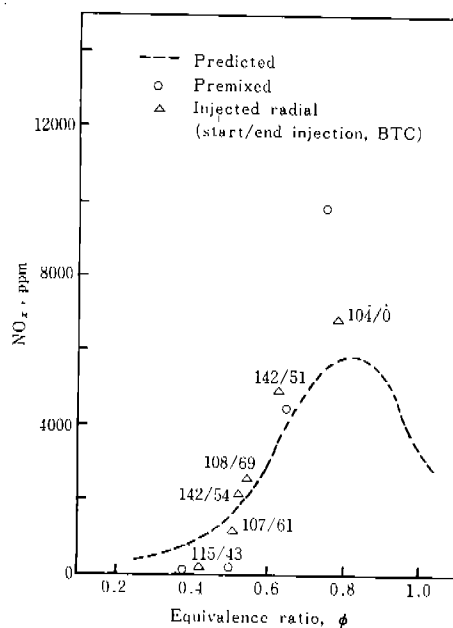


Fig. 11 Measured & predicted NO_x concentration with equivalence ratio at 1200 rpm

4. 結 論

電氣點火機関에 水素를 燃料로 使用하였을 때의 機關의 平均有効壓力과 氮素酸化物에 대한 계산 모델을 세우고 사이클을 시뮬레이션하여豫測한 다음 實驗値와 比較하였다.

平均有効壓力에 있어서는豫測値가 實驗値에 比하여 20~30% 높게豫測되었고, 氮素酸化物의 排出濃度에 있어서는 當量比 $\phi = 0.6 \sim 0.8$ 구간에서는 10~20% 以内로豫測할 수 있었으나 $\phi = 0.6$ 以下の 구간에서는 實驗値보다 훨씬 높은 値으로豫測되었다.

參 考 文 獻

1. W. F. Stewart and F. J. Edeskuty, Logistics, Economics, and Safety of a Liquid Hydrogen System for Automotive Transportation, ASME Publication, 73-ICT-78
2. R. F. Stebar and F. B. Parks, Emission Control with Lean Operation Using Hydrogen-
- Supplemented Fuel, SAE 740187
3. 古浜庄一, 吉田義孝, 水素エンジンの燃焼特性(第3報), 自動車技術会 學術講演会前刷集, NO. 741, pp. 173~178, 1974
4. E. S. Starkman et.al., "The Effect of Temperature Variations in the Engine Combustion Chamber on Formation & Emission of Nitrogen Oxides," SAE 710158
5. J. B. Heywood et.al., "Predicting NO_x Emissions & Effects of Exhaust Gas Recirculation in SI Engines," SAE 730475
6. H. K. Newhall, "Kinetics of Engine Generated Nitrogen Oxide & Carbon Monoxide," 20 th symposium on Combustion(1969)
7. D. B. Kittelson and Jak Levi, "Further Studies with a Hydrogen Engine," SAE 780233
8. H. S. Homan, P. C. T. deBeor et.al., "The Effect of Fuel Injection on NO_x Emission & Undesirable Combustion for Hydrogen-Fueled Piston Engine," SAE 780945